

مطالعه رفتار الکتروشیمیایی کالکوپیریت در حضور پراکسید دی سولفات سدیم

الله حسینی^۱؛ حجت نادری^{۲*}

۱- دانشجوی کارشناسی ارشد فرآوری مواد معدنی، دانشکده معدن و متالورژی، دانشگاه یزد

۲- استادیار فرآوری مواد معدنی، دانشکده معدن و متالورژی، دانشگاه یزد، naderi@yazd.ac.ir

(دریافت ۲۵ مرداد ۱۳۹۵، پذیرش ۱۳ تیر ۱۳۹۶)

چکیده:

رفتار الکتروشیمیایی کالکوپیریت با استفاده از الکتروود خمیری کربن (CPE) در محیط سولفاته و در حضور یون های فریک و پراکسید دی سولفات بررسی شد. از روش ولتامتری سیکلی (CV) و ولتامتری خطی (LSV) و امپدانس الکتروشیمیایی برای مطالعه واکنش های سطحی استفاده شد. تاثیر پارامترهای جهت جریان، pH، غلظت یون فریک و حضور یون پراکسید دی سولفات مطالعه شد. آزمایش ولتامتری سیکلی الکتروود کالکوپیریت در جهت آندی نشان داد که اکسیداسیون کالکوپیریت در محدوده پتانسیل $0/25 \text{ V vs. SCE}$ صورت می گیرد. در مسیر برگشت دو پیک کاتدی مربوط به احیا محصولات حاصل از اکسیداسیون در مرحله فبل (کالکوپیریت ناقص) و احیا یون های مس به مس فلزی دیده شد. کاهش pH محیط به ۱، سبب افزایش میزان احیاشدن کالکوپیریت به دلیل افزایش حضور یون H^+ در محدوده پتانسیل $-0/32 \text{ mV}$ می شود. حضور یون های فریک و پراکسید دی سولفات سبب افزایش شدت پیک های کاتدی در پتانسیل های کاتدی می شود. آزمایش ولتامتری سیکلی الکتروود کالکوپیریت در جهت کاتدی نشان داد که پیک مربوط به احیا شدن کالکوپیریت به کالکوسیت و کوولیت در محدوده پتانسیل $-0/33 \text{ mV}$ ظاهر می شود و اکسیداسیون این محصولات در مسیر برگشت سبب ظاهر شدن پیک آندی در محدوده پتانسیل $0/36 \text{ mV}$ می شود. نمودار تابل الکتروود کالکوپیریت یک شب منفی در محدوده آندی ($0/05 \text{ V vs. SCE}$ تا $0/2 \text{ V vs. SCE}$) نشان می دهد که بیانگر تشکیل یک لایه مقاوم در سطح کالکوپیریت می باشد. در حضور پراکسید دی سولفات، شب منفی شاخه آندی حذف شده است. به عبارت دیگر حضور پراکسید دی سولفات از تشکیل لایه مقاوم جلوگیری می کند. آزمایش های امپدانس الکتروشیمیایی نشان داد که در حضور یون پراکسید دی سولفات، مقاومت در برابر انتقال بار کاهش یافته و سرعت انحلال کالکوپیریت افزایش می یابد.

کلمات کلیدی:

کالکوپیریت، لیچینگ کمکی، پراکسید دی سولفات سدیم، ولتامتری سیکلی، امپدانس الکتروشیمیایی

غلظت یون نقره (سه غلظت مختلف: 1 g Ag/Kg Cu و 5 g Ag/Kg Cu و 50 g Ag/Kg Cu) غلظت یون فریک (0.5 g/l و 5 g/l) و تاثیر اکسیژن بودند. نتایج آنها نشان داد که در لیچینگ کالکوپیریت با کاتالیزور نقره، سولفید نقره تشکیل شده و سطح کالکوپیریت را می‌بوشاند و آن را از ژاروسیت مقاوم و سایر محصولات هیدرولیز فریک محافظت می‌کند.

میسرا و همکاران در سال ۲۰۰۵ تاثیر نانوسیلیس را بر انحلال کالکوپیریت بررسی کردند^[۱]. پارامترهای اندازه ذرات، نوع و غلظت اکسیدکننده (یون فریک، یون کلرید و پراکسید هیدروژن)، غلظت نانوسیلیس (در محدوده‌های 1 g/l ، $3/5 \text{ g/l}$ و $11/7 \text{ g/l}$ و $17/5 \text{ g/l}$ ، ۶۵ چگالی پالپ و درجه حرارت (در محدوده‌های $2/5$ ، $2/5$ و $4/5$) درجه‌سانتری گراد) مورد بررسی قرار گرفتند. مطالعات SEM نشان داد که در غیاب نانوسیلیس، سطح کالکوپیریت پس از لیچینگ با گوگرد پوشش داده می‌شود درحالی که در حضور نانوسیلیس، سطح کالکوپیریت با ذرات نانوسیلیس (و مقدار کمی گوگرد) پوشیده می‌شود. میزان انحلال با افزایش غلظت نانوسیلیس افزایش می‌یابد.

برای جلوگیری از تشکیل لایه مقاوم، استفاده از حللاهای آلی قطبی در ترکیب با محیط اسیدی نیز مورد بررسی قرار گرفته است^[۱۰]. نتایج نشان داد که ترکیبی از استون با پراکسید هیدروژن سبب افزایش انحلال کالکوپیریت می‌شود. افروزن مقدار کمی از اتیلن گلیکول انحلال مس را به طور قابل توجهی بهبود می‌دهد. اتیلن گلیکول باعث پایداری پراکسید هیدروژن در دماهای بالا شده و در نتیجه سبب افزایش انحلال مس می‌شود. با این حال، این سیستم دارای چند اشکال جدی مانند هزینه‌های عوامل شیمیایی و امکان انفجار سیستم در زمان‌های طولانی واکنش می‌باشد.

داکوبا و همکاران^[۱۲] امکان استفاده از پراکسید دی سولفات ($\text{S}_2\text{O}_8^{2-}$) برای بهبود فرایند هیپ لیچینگ کانه کالکوپیریتی با محلول اسید سولفوریک در حضور یون فریک را مورد بررسی قرار دادند. مطالعات آنها بر روی کانه خالص کالکوپیریت و کانه کم عیار هیپوژن انجام شد. نتایج آنها نشان داد که حضور پراکسید دی سولفات سبب افزایش انحلال مس می‌شود. بر اساس مطالعات الکتروشیمیایی، پراکسید دی سولفات سبب کاهش پراکسید دی سولفات، قویترین اکسیدکننده از خانواده ترکیبات پراکسیژن است. پتانسیل اکسایش-احیا استاندارد پراکسید دی سولفات به صورت معادله زیر بیان می‌شود:

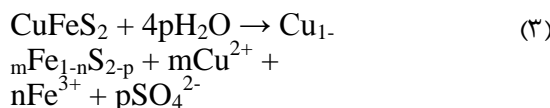
۱- مقدمه

کالکوپیریت، CuFeS_2 ، فراوان ترین کانی مس در طبیعت است که حدود ۷۰ درصد ذخایر مس دنیا را تشکیل می‌دهد. در فرایندهای هیدرومالتالورژیکی، کالکوپیریت حالت بسیار مقاوم از خود نشان می‌دهد که علت آن تغییرات در سطح کانی و تشکیل محصولاتی است که در شرایط اکسیدی بسیار پایدار می‌باشند^[۱]. تاکنون یک اجماع کلی در مورد تشکیل یک لایه مقاوم بر روی سطح کالکوپیریت که سبب کند شدن واکنش اکسیداسیون می‌شود وجود دارد. با این حالت ماهیت دقیق این لایه تا کنون مشخص نشده است و تئوری‌های مختلفی در مورد چگونگی تشکیل این لایه ارائه شده است^[۲]. تاکنون چهار عامل به عنوان لایه مقاوم پیشنهاد شده است^[۳]: سولفیدهای فلزی ناقص، گوگرد عنصری $\text{XFe}_3(\text{SO}_4)_2(\text{OH})_6$ -، پلی سولفیدها - XS_n و ژاروسیت کالکوپیریت استفاده از کاتالیزورهایی مانند یون‌های نقره، ذرات کربن، نانوسیلیس، پراکسیددی‌سولفات، حللاهای قطبی و... می‌باشد.^[۴]

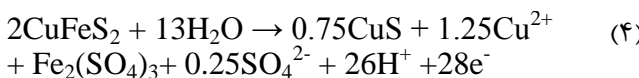
مهتا و همکاران در سال ۱۹۸۳ به طور آزمایشگاهی تاثیر متقابل بین زوج گالوانیک پیریت و کالکوپیریت را مطالعه کردند^[۵]. نتایج نشان داد که اثر گالوانیک متقابل بین پیریت و کالکوپیریت به طور قابل توجهی لیچینگ و استخراج مس را از پالپ حاوی پیریت و کالکوپیریت تحت تاثیر قرار می‌دهد. حضور پیریت در پالپ منجر به افزایش ۲-۱۵ برابری نرخ انحلال کالکوپیریت می‌شود. کلینی و همکاران پیریت را به عنوان یک کاتالیزور به محیط اضافه کردند^[۶]. در نسبت جرم کانه پیریت به کانه سولفیدی مس ۲:۱، بیش از ۸۰ درصد مس در ۲۴ ساعت و در دمای ۸۵ درجه‌سانتری گراد بازیابی شد.

در سال ۱۹۸۴ وان و همکاران^[۷] نشان دادند که وقتی کالکوپیریت با ذرات کربن در تماس باشد، سرعت لیچینگ کالکوپیریت افزایش می‌یابد. ذرات هادی کربن موجب تغییر در هدایت لایه ایجاد شده در سطح کالکوپیریت و افزایش لیچینگ کالکوپیریت می‌شود.

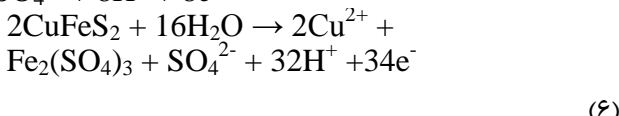
کوردووا و همکاران در سال ۲۰۰۹ لیچینگ کالکوپیریت با کاتالیزور نقره در حضور و یا عدم حضور اکسیژن را مورد بررسی قرار دادند^[۸]. پارامترهای بررسی شده در این مطالعه شامل مقاومت در برابر فرایند انتقال الکترون در سطح کالکوپیریت و در نتیجه افزایش سرعت و میزان انحلال می‌شود.



واکنش های (۲) و (۳) مشابه هستند که نشان می دهد محصول گوگردی تشکیل شده در واکنش (۳) بر خلاف لایه مقاوم تشکیل شده در واکنش (۲) فعال است. سرعت انحلال کالکوپیریت تابعی از نرخ تجزیه لایه به دست آمده در واکنش (۳) است. افزایش $E \leq 1.116\text{V}$ vs. SHE پتانسیل به محدوده بالاتر ($E \leq 1.085\text{V}$ vs. SHE) باعث خروج کامل آهن از شبکه کالکوپیریت و تشکیل لایه CuS در سطح الکترود بر طبق واکنش (۴) می شود:



لایه CuS در پتانسیل های بالاتر از 1.116V vs. SHE ناپایدار است و انحلال کامل تری از کالکوپیریت با افزایش بیشتر پتانسیل به دست می آید، بر طبق واکنش های (۵) و (۶):



در پتانسیل های بالاتر، ژاروسیت بر روی سطح کالکوپیریت تشکیل می شود و نرخ انحلال الکترود را کاهش می دهد. در حقیقت محصولات واکنش (۲) منجر به تشکیل ژاروسیت بر روی سطح الکترود می شود.

در تحقیق قبلی توسط این گروه تاثیر مثبت یون پراکسید دی سولفات بر انحلال کنسانتره کالکوپیریت نشان داده شد [۱۸]. در این مقاله، رفتار الکتروشیمیایی کالکوپیریت در حضور و عدم حضور پراکسید دی سولفات مورد بررسی قرار گرفته و با استفاده از روش های الکتروشیمیایی، مکانیزم عمل یون پراکسید دی سولفات مطالعه شد.

۲- مواد و روش ها

۲-۱- مواد

کانی کالکوپیریت از معدن مس سرچشمه تهیه شد. بر اساس نتایج آنالیز XRD، حدود ۹۹ درصد نمونه کالکوپیریت و حدود ۱ درصد پیریت بوده است. اسید سولفوریک، سولفات فریک (Fe₂(SO₄)₃.3H₂O)، سولفات فرو (FeSO₄) و پراکسید

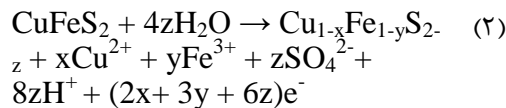


مقدار E° برای $\text{S}_2\text{O}_8^{2-}$ از مقدار E° برای H_2O_2 (1.8V) و پرمنگنات MnO_4^- (1.7V) بیشتر است.

در فرایند هیپ لیچینگ، مهمترین مزیت پراکسید دی سولفات نسبت به سایر اکسید کننده ها مانند پراکسید هیدروژن و اوزون، سرعت پایین واکنش آن است. در مطالعات آزمایشگاهی، نرخ تجزیه آن در تماس با کانی سولفیدی، در حدود 10% در هفته اندازه گیری شده است. این امر سبب می شود تا امکان نفوذ پراکسید در قسمت های پایین هیپ فراهم شود.

مزیت دیگر پراکسید دی سولفات در محلول اسید سولفوریک، امکان تولید مجدد آن با استفاده از سلول الکتروشیمیایی می باشد. هزینه انرژی مورد نیاز برای تولید پراکسید دی سولفات از محلول اسید سولفوریک $\text{kg}/0.2\text{ \$}$ می باشد [۱۲]. پراکسید دی سولفات بعد از واکنش به یون سولفات تبدیل می شود که می توان آن را مجددا به پراکسید دی سولفات تبدیل کرد.

محققین زیادی رفتار الکتروشیمیایی کالکوپیریت را CuFeS_2 کردند [۱۷-۱۳]. این مطالعات نشان داد که انحلال کالکوپیریت در $E \leq 1.015\text{V}$ vs. SHE پتانسیل های آندی پایین شروع می شود ($E \leq 1.015\text{V}$ vs. SHE) و منجر به تشکیل لایه پلی سولفیدهای غیر استوکیومتری با ترکیب $\text{Cu}_{1-x}\text{Fe}_{1-y}\text{S}_{2-z}$ بر طبق معادله زیر می شود:



در این محدوده پتانسیل غلظت یون مس حل شده بسیار پایین است. $\text{Cu}_{1-\frac{x}{2}}\text{Fe}_{1-\frac{y}{2}}\text{S}_{2-\frac{z}{2}}$ یک فیلم مقاوم است که سرعت انحلال کالکوپیریت را کم می کند. در پتانسیل های بالاتر ($E \leq 1.085\text{V}$ vs. SHE) مقدار کمی از مس در محلول یافت شد که انحلال جزئی لایه پلی سولفید را تایید می کند. واکنشی که برای انحلال کالکوپیریت در پتانسیل های بالاتر پیشنهاد شده عبارت است از:

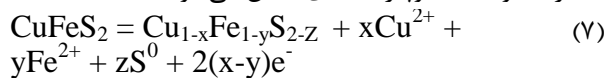
کالکوپیریت در حضور و عدم حضور پراکسید دی سولفات مطالعه شده و پسماند لیچینگ با تکنیک‌های الکتروشیمیایی بررسی شد.

۳- نتایج و بحث

۱-۳- تأثیر pH

V vs SCE آزمایش‌های ولتاویری سیکلی در محدود پتانسیل ۰/۸ - ۰/۴۵ در pH های ۱ و ۲/۵ انجام شد. شکل ۱ نتایج را نشان می‌دهد.

در محدوده پتانسیل ۷/۰ - ۰/۲۵، پیک آندی A مشاهده می‌شود که مربوط به اکسیداسیون کالکوپیریت می‌باشد. بر اساس نظر السا و همکاران [۱۳]، اکسیداسیون کالکوپیریت بر اساس معادله زیر منجر به تولید کالکوپیریت های ناقص می‌شود:



پیک کاتدی C₁ در محدوده V=۰/۴ مربوط به احیا محصولات حاصل از اکسیداسیون کالکوپیریت (کالکوپیریت ناقص) می‌باشد. همچنین در محدوده V=۰/۱۶ پیک احیایی C₂ وجود دارد. هالیدی و همکاران [۱۴] معتقدند که این پیک مربوط به نیم واکنش‌های زیر می‌باشد:



در نمودار مربوط به pH=۱، پیک احیایی C₃ در محدوده پتانسیل V=۰/۳۲ ظاهر شده است. طبق نظر اقبال نیا و همکاران [۱۵]، در پتانسیل‌های منفی (کمتر از V=۰/۲۵) و pH های پایین، کالکوپیریت در حضور یون H⁺ به کالکوسیت احیا می‌شود:

دی سولفات سدیم (Na₂S₂O₈) با خلوص آزمایشگاهی تولیدی شرکت مرک (آلمان) مورد استفاده قرار گرفتند.

۲- روش‌ها

برای ساخت الکترود خمیری کالکوپیریت^۱، ۰/۸ گرم گرافیت با ۰/۲ گرم کانه (کالکوپیریت) در یک هاون سنگی ساییده شد؛ سپس ۰/۸ میلی‌لیتر پارافین به پودر حاصل اضافه شد تا خمیره همگنی به دست آید. این خمیره در یک لوله شیشه‌ای با ۴ mm قطر فشرده شد. اتصال الکتریکی با یک سیم مسی از انتهای لوله حاصل شد. الکترود مرجع کالولم (SCE) و الکترود شناساگر (پلاتین از شرکت آذر الکترود ارومیه تهیه شد.

آزمایش‌ها با استفاده از دستگاه پتانسیومتر/گالوانواستات (SAMA 500) و اتولب (Autolab) متصل به کامپیوتر و الکترودهای کار (الکترود خمیری کربن)، شناساگر (الکترود پلاتین) و مرجع (کالولم) و در یک سلول سه الکترودی انجام شد. پس از ساخت الکترود خمیری کربن، محلول الکتروولیت مورد نظر تهیه و الکترودهای مرجع، شناساگر و کار درون الکتروولیت قرار گرفت (محلول الکتروولیت مشکل از محلول اسید سولفوریک با pH موردنظر و مقادیر موردنیاز از یونهای فریک و پراکسید دی سولفات بود). به منظور پایدار شدن و به دست آوردن نتایج تکرار پذیر، الکترود خمیری کربن درون الکتروولیت به مدت ۱۰ دقیقه نگهداری شد و سپس آزمایش‌های الکتروشیمیایی مورد نظر انجام گرفت. پس از هر آزمایش سطح الکترود خمیری کربن به منظور ایجاد سطح تازه پولیش داده شد.

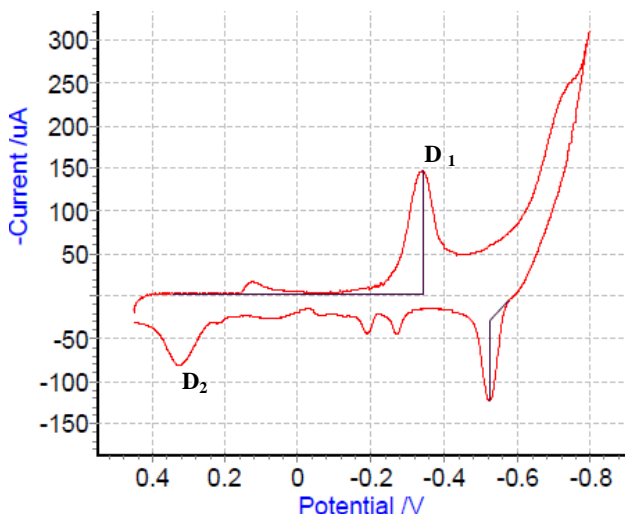
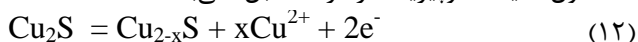
آزمایش‌های لیچینگ در یک راکتور شیشه‌ای یک لیتری مجهر به همزن و کندانسور که در داخل حمام آب گرم (که در دمای مورد نظر تنظیم شده بود) قرار داشت، انجام شد. پس از رسیدن pH به دمای مورد نظر، با استفاده از محلول اسید سولفوریک، محلول تنظیم و سپس مواد شیمیایی و نمونه کالکوپیریت به راکتور اضافه شدند. در زمان‌های مشخص از محلول داخل راکتور نمونه گیری شد. نمونه فیلتر و جهت آنالیز مس به آزمایشگاه ارسال شدند. آنالیز مس با استفاده از دستگاه جذب اتمی (مدل ورین) در آزمایشگاه هیدرورمتالورژی دانشگاه تربیت مدرس انجام گرفت.

تأثیر پارامترهای مختلف مانند pH، یون فریک، حضور پراکسید دی سولفات و نرخ اسکن بررسی شد. همچنین لیچینگ کانی

^۱ Carbon paste electrode

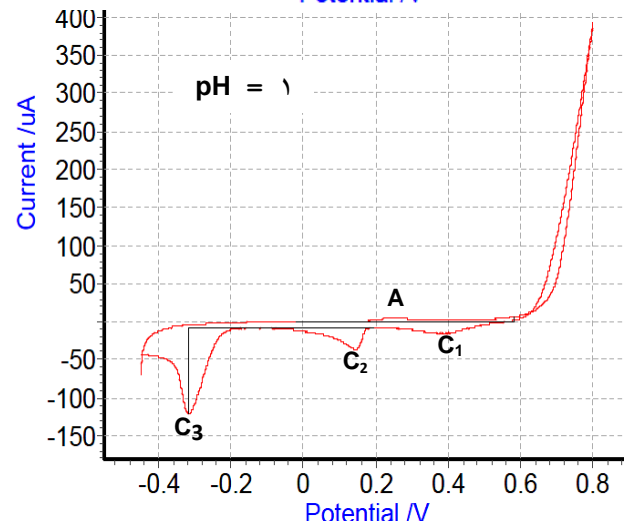
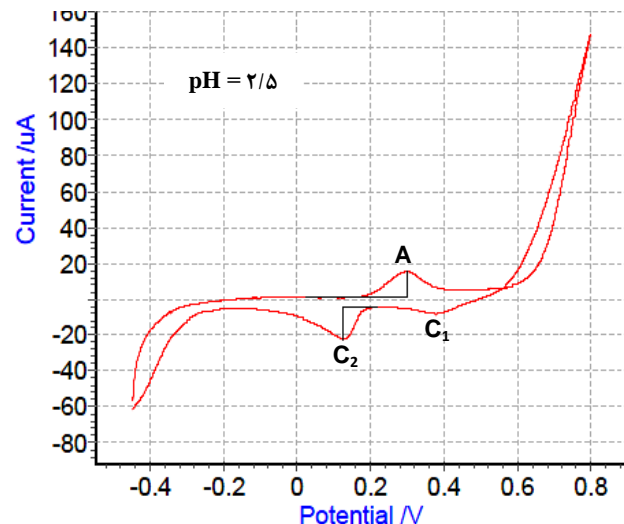
منفی در نظر گرفته شد به طوری که، پتانسیل از $+0.45\text{V}$ شروع و تا -0.8V ادامه یافت. شکل ۲ نتیجه را نشان می‌دهد. همانگونه که در شکل ملاحظه می‌شود، ابتدا پیک کاتدی D_1 در محدوده پتانسیل -0.33V ظاهر شده است. این نتیجه با نتایج ارائه شده توسط السا و همکاران [۱۳] و اقبال نیا و همکاران [۱۵] مطابقت دارد. در این محدوده، کالکوپیریت به کالکوسیت و کوولیت احیا می‌شود (معادله ۱۱).

در مسیر برگشت (آندي)، پیک D_2 در محدوده پتانسیل $+0.36\text{V}$ ظاهر شده است که مربوط به اکسیداسیون کالکوسیت (محصول احیا کالکوپیریت در مرحله قبل) می‌باشد:

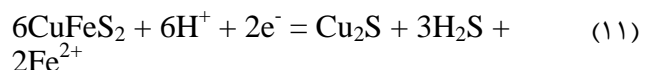


شکل ۲: اعمال پتانسیل در جهت معکوس؛ محدوده پتانسیل $+0.8\text{V}$ تا -0.4V ، $\text{pH} = 1$ ، نرخ اسکن 0.02V/S ، دمای محیط

۳-۳- تاثیر یون فریک
تاثیر حضور یون فریک در محیط بر واکنش های سطحی کالکوپیریت با افزودن مقادیر 0.05mol/L و 0.1V یون فریک به محلول لیچینگ بررسی شد. شکل (۳) نتایج را نشان می‌دهد. همانگونه که مشاهده می‌شود، شدت پیک احیایی C_2 در این شرایط بیشتر شده است. طبق نظر هالیدی و همکاران [۱۴]، دلیل این امر احیا شدن همزمان Cu^{2+} به Cu^0 و Fe^{3+} به Fe^{2+} می‌باشد.



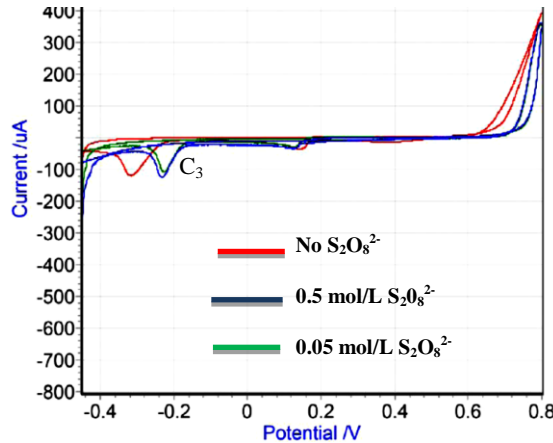
شکل ۱: ولتاویری سیکلی الکترود کالکوپیریت در محیط اسید سولفوریک در pH های مختلف؛ محدوده پتانسیل $+0.8\text{V}$ تا -0.45V ، $\text{pH} = 2/5$ ، نرخ اسکن 0.02V/S ، دمای محیط



در $\text{pH} = 2/5$ ، به دلیل پایین بودن غلظت یون H^+ نسبت به حالت قبل، پیک C_3 ظاهر نشده است.

۲-۳- اعمال پتانسیل کاتدی
به منظور بررسی رفتار کالکوپیریت در پتانسیل های احیایی، آزمایش ولتاویری سیکلی با جهت معکوس انجام شد. برای این منظور جهت روشن از پتانسیل های مثبت به سمت پتانسیل های

شده است. آزمایش برای مقادیر 0.15 mol/L و 0.35 mol/L نیز تکرار شد که نتایج مشابه بودند.

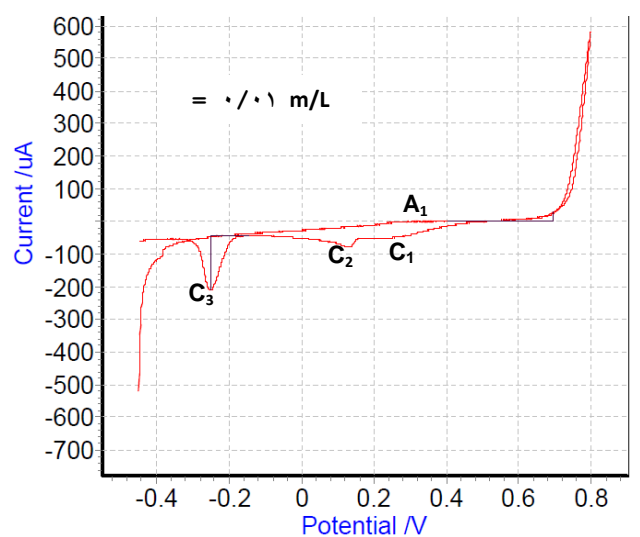
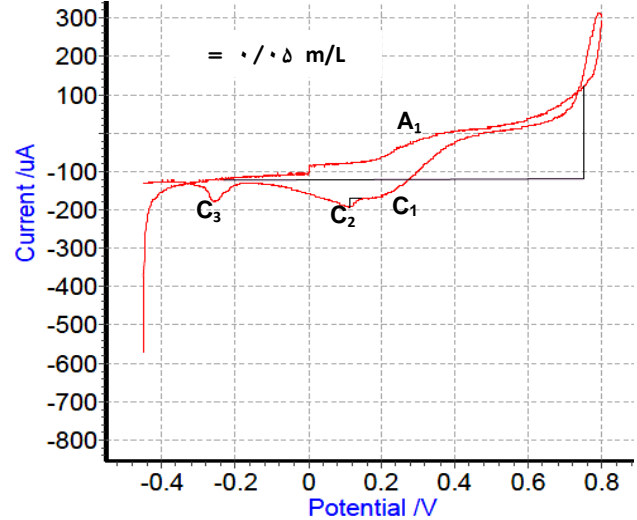


شکل ۴: تاثیر پراکسیدی سولفات؛ محدوده پتانسیل -0.45 V تا $+0.8 \text{ V}$ ، نرخ اسکن 0.02 V/S ، محیط اسید سولفوریک $\text{pH}=1$ و دمای محیط

۵-۳- تاثیر افزودن همزمان یون فریک و پراکسیدی سولفات
جهت بررسی تاثیر حضور همزمان یون‌های فریک و پراکسیدی سولفات، مقدار 0.5 mol/L پراکسید دی سولفات و 0.5 mol/L یون فریک به محلول اضافه شد. شکل ۵ نتایج را نشان می‌دهد.

مقایسه شکل ۵ با شکل‌های ۳ و ۴ نشان می‌دهد پیک کاتدی C_1 که در شکل‌های ۳ و ۴ ظاهر شده بود در این شرایط بسیار کوچک است و توسط پیک C_2 پوشانده شده است. علت افزایش شدت پیک C_2 ، احیا شدن همزمان یون‌های Cu^{0+} به Cu^{2+} ، یون Fe^{+2} به Fe^{+3} و یون $\text{S}_2\text{O}_8^{-2}$ می‌باشد.

۶-۳- آزمایش‌های ولتاوتمتری خطی^۱(رسم نمودار تافل)
شکل ۶ نمودار تافل الکترود کالکوپیریت در محیط اسید سولفوریک و $\text{pH}=2$ را نشان می‌دهد. نمودار تافل یک شیب منفی در محدوده آندی (0.05 V تا 0.2 V vs SCE) نشان می‌دهد. طبق نظر قهرمانی نژاد و همکاران [۱۶] این شیب منفی بیانگر تشکیل یک لایه مقاوم در سطح کالکوپیریت می‌باشد. در نمودار تافل الکترود کالکوپیریت در حضور پراکسید دی سولفات، (شکل ۷) شیب منفی شاخه آندی حذف شده است. به عبارت

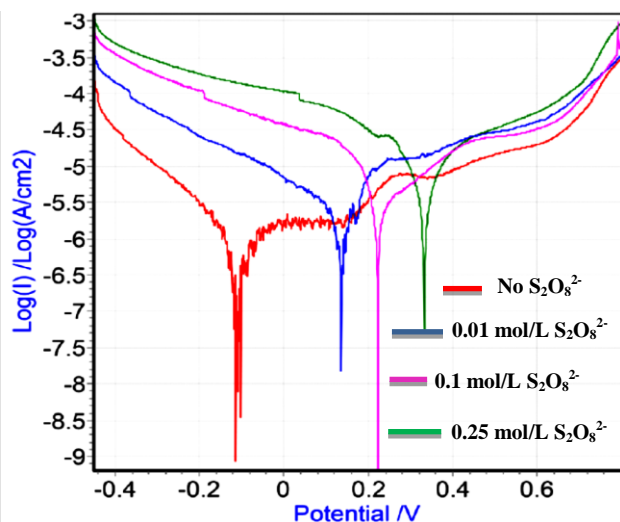


شکل ۳: تاثیر یون فریک؛ محدوده پتانسیل -0.45 V تا $+0.8 \text{ V}$ ، نرخ اسکن 0.02 V/S ، محیط اسید سولفوریک $\text{pH}=1$ و دمای محیط

مقایسه مقادیر 0.01 mol/L و 0.05 mol/L یون فریک نشان می‌دهد که در مقادیر بیشتر یون فریک شدت پیک کاتدی C_2 به دلیل احیای بیشتر Fe^{2+} به Fe^{3+} بیشتر است.

۴-۴- تاثیر پراکسیدی سولفات
به منظور بررسی اثر پراکسید دی سولفات بر روی سطح کالکوپیریت، مقادیر 0.05 mol/L و 0.1 mol/L از این ماده به محیط افزوده شد. شکل (۴) نمودارهای حاصل را نشان می‌دهد. همان گونه که ملاحظه می‌شود، حضور پراکسید دی سولفات باعث جابجایی پیک کاتدی C_3 از پتانسیل -0.32 V به -0.22 V ولت می‌شود.

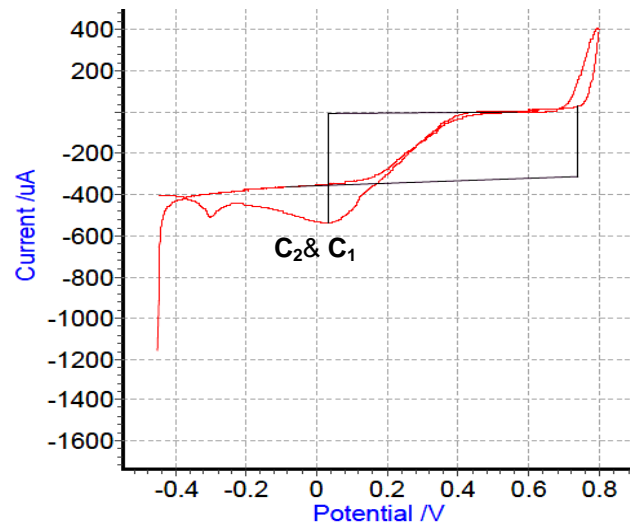
^۱Liner Sweep Voltammetry(LSV)



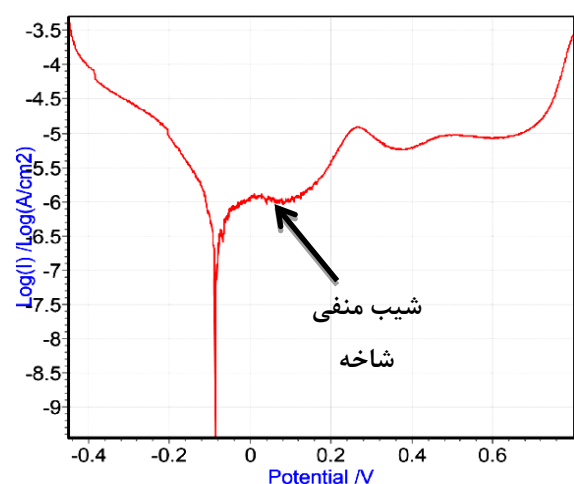
شکل ۷: تاثیر افزودن مقادیر مختلف پراکسید دی سولفات؛ محدوده پتانسیل -0.4 V/S تا 0.6 V/S ، نرخ اسکن 1 mV/s ، محیط اسید سولفوریک و دمای محیط $\text{pH}=1$

دیگر حضور پراکسید دی سولفات از تشکیل لایه مقاوم جلوگیری می‌کند.

نمودارهای تافل به منظور بررسی تاثیر پراکسید دی سولفات بر روی نرخ اکسیداسیون کالکوپیریت رسم شد. آزمایش‌ها در شرایط حضور و عدم حضور پراکسید دی سولفات و در $\text{pH}=1$ و محیط اسید سولفوریک انجام شد. نرخ اکسیداسیون کالکوپیریت بر مبنای محل تلاقي شیب شاخه آندی و کاتدی نمودار تافل به دست می‌آید [۱۲]. همان‌گونه که در شکل (۸) مشاهده می‌شود افزودن مقدار 0.1 mol/L پراکسید دی سولفات باعث افزایش نرخ اکسیداسیون از $0.562 \mu\text{A}/\text{m}^{6/3}$ به $0.562 \mu\text{A}/\text{m}^{6/3}$ افزودن مقادیر بیشتر پراکسید دی سولفات تا 0.25 mol/L نرخ اکسیداسیون را به $0.562 \mu\text{A}/\text{m}^{6/3}$ افزایش می‌دهد. در شکل ۸ نیز نمودارهای تافل الکترود کالکوپیریت در حضور یون‌های فریک و پراکسید دی سولفات مقایسه شده است. افزودن یون فریک نیز باعث افزایش نرخ اکسیداسیون کالکوپیریت از $0.562 \mu\text{A}/\text{m}^{6/3}$ به $0.772 \mu\text{A}/\text{m}^{6/3}$ شده است.

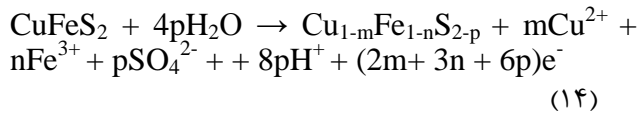
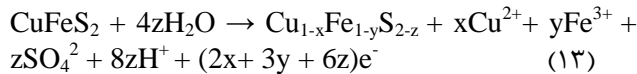


شکل ۵: تاثیر افزودن همزمان فریک و پراکسید دی سولفات؛ محدوده پتانسیل -0.4 V/S تا 0.8 V/S ، نرخ اسکن 0.2 mV/s ، محیط اسید سولفوریک و دمای محیط $\text{pH}=1$

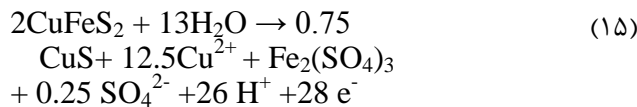


شکل ۶: نمودار تافل الکترود کالکوپیریت؛ محیط اسید سولفوریک و $\text{pH}=2$

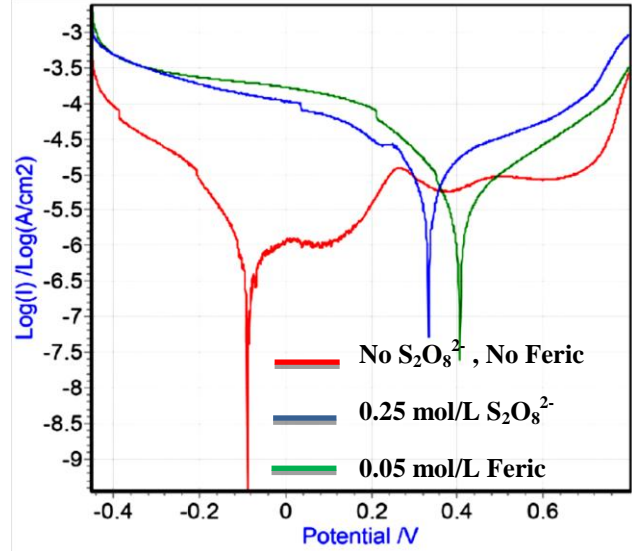
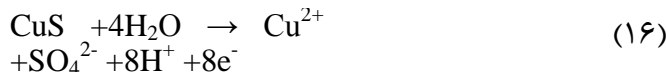
تابعی از سرعت روبش است که مربوط به تشکیل لایه سطحی می‌شود. بر اساس نظر قهرمانی نژاد و همکاران واکنش انجام گرفته به صورت زیر است [۱۷]:



در محدوده پتانسیل $V_{0/3-0/4}$ ، مقدار جریان برای هر سه حالت تقریباً برابر است که نشان می‌دهد در این محدوده از پتانسیل سطح الکتروود فعل بوده است. در این محدوده پتانسیل، لایه مقاوم تشکیل شده در مرحله قبل به صورت الکتروشیمیایی حل می‌شود. در پتانسیل‌های آندی بالاتر از $V_{0/4}$ مجدداً یک لایه مقاوم جدید در سطح الکتروود تشکیل شده و سبب کاهش سرعت انحلال و در نتیجه میزان جریان شده است. در این مرحله آهن به صورت کامل از شبکه کالکوپیریت خارج شده و لایه CuS طبق واکنش زیر در سطح الکتروود تشکیل می‌شود.



در پتانسیل‌های بالاتر از $V_{0/72}$ ، لایه CuS ناپایدار است. در این مرحله انحلال کامل کالکوپیریت و لایه CuS طبق واکنش‌های زیر انجام شده و سبب افزایش جریان می‌شود:

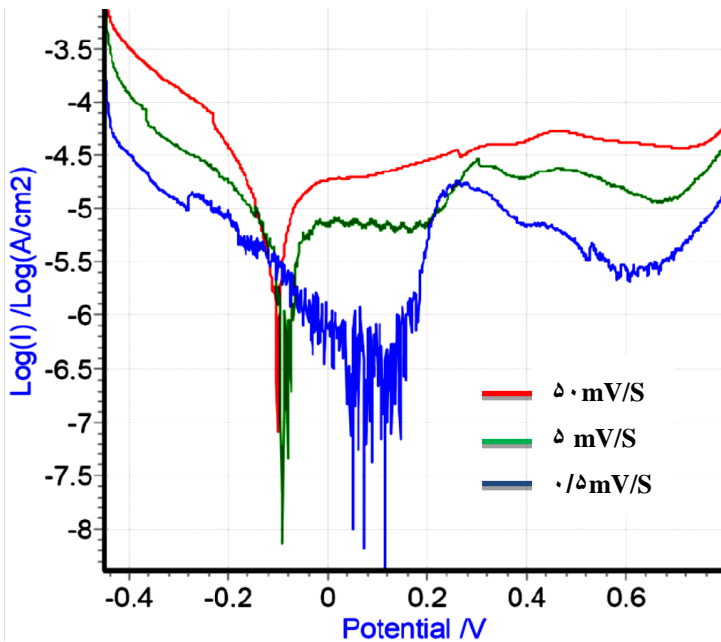


شکل ۸: تاثیر افزودن یونهای فریک و پراکسیدی سولفات؛ محدوده پتانسیل $V_{0/45-0/8}$ ، نرخ اسکن 1V/S ، محیط اسید سولفوریک و دمای محیط $\text{pH}=1$

۷-۳- تاثیر نرخ اسکن بر نمودارهای تافل

به طور کلی اعمال نرخهای اسکن پایین‌تر، رفتار حالت پایدار الکتروود را بهتر تشریح می‌کند. به عبارت دیگر در نرخهای اسکن پایین فرصت کافی برای تشکیل (و یا انحلال) لایه‌های سطحی وجود دارد و بهمین دلیل در نمودار تافل تغییرات جریان با جزئیات بیشتری ظاهر می‌شود. در نرخهای اسکن پایین‌تر لایه سطحی تشکیل شده روی الکتروود ضخیم‌تر و فشرده‌تر است [۱۷]. شکل ۹ نمودارهای تافل را برای الکتروود کالکوپیریت در نرخهای اسکن 0.5 mV/s و 5 mV/s در محیط اسید سولفوریک 0.5 M مولار نشان می‌دهد. همان‌طور که در شکل ۹ دیده می‌شود، در پتانسیل‌های کاتدی پروفیل E-Logi برای همه نمودارها یکسان است که نشان می‌دهد سطح اولیه الکتروود در هر سه مورد خصوصیات مشابهی داشته است.

نگاه دقیق‌تر به شکل ۹ جزئیات بیشتری را در خصوص رفتار آندی کالکوپیریت به دست می‌دهد. در خصوص پتانسیل‌های آندی کم (از پتانسیل مدار باز تا $V_{0/3}$)، نرخ جریان (انحلال)



شکل ۹: تاثیر نرخ اسکن بر نمودارهای تافل؛ محدوده پتانسیل -0.4 تا $+0.8$ و دمای محیط $pH=1$

۳-۹- نتایج آزمایش‌های ولتاومتری خطی بر روی پسماند لیچینگ

در طی آزمایش‌های لیچینگ، در زمان‌های مختلف از ذرات جامد داخل راکتور نمونه‌گیری شده و با استفاده از آن‌ها الکترودهای خمیری کربن تهیه شد سپس آزمایش ولتاومتری خطی به‌منظور رسم نمودار تافل بر روی این الکترودها انجام شد.

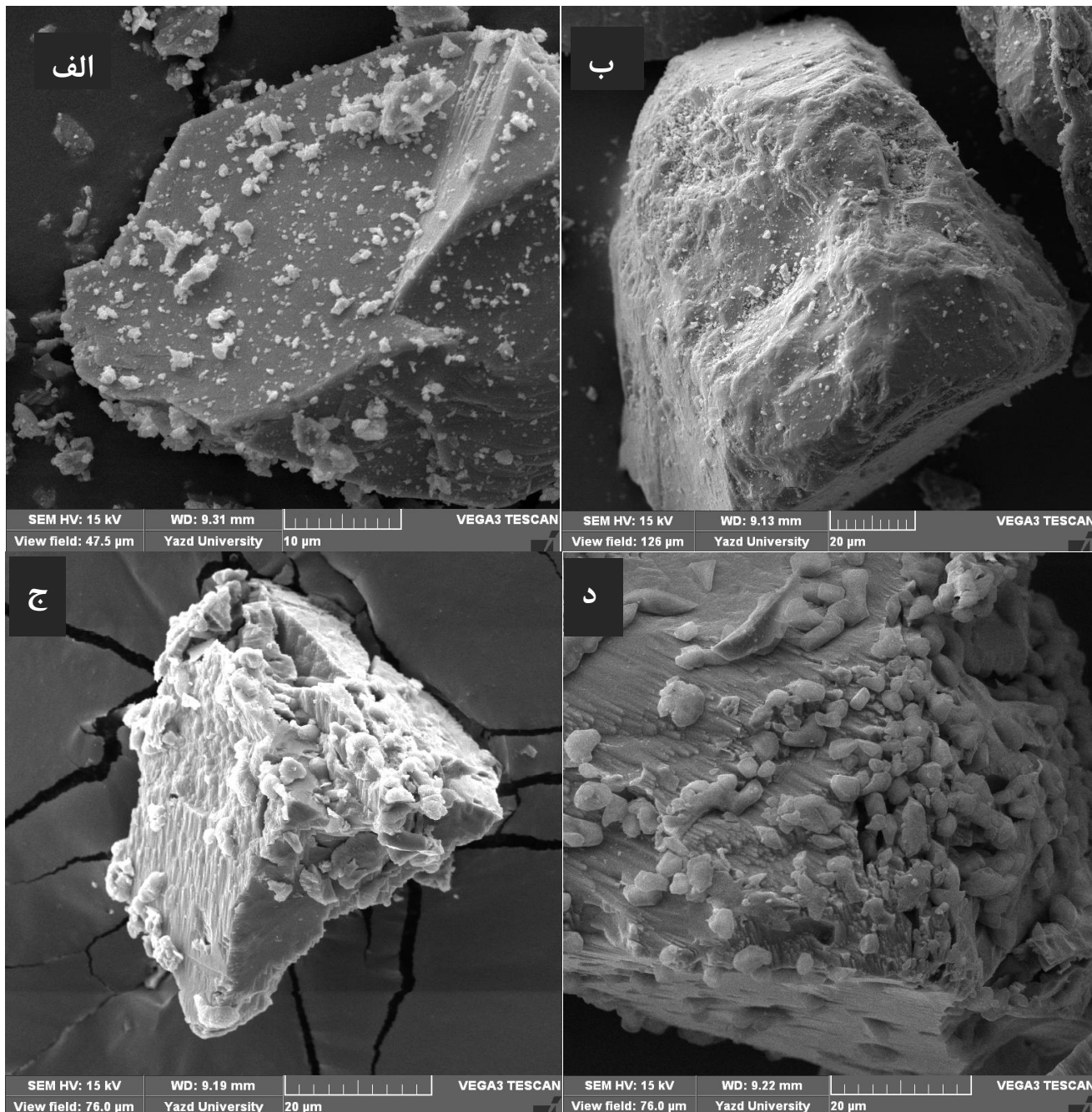
شکل ۱۱ نمودار تافل مربوط به پسماند لیچینگ در زمان‌های ۱۰ و ۳۴ ساعت در غیاب عوامل اکسید کننده را نشان می‌دهد. همان‌گونه که ملاحظه می‌شود، میزان جریان از $3/1 \mu A$ در زمان ۱۰ ساعت به $0.15 \mu A$ در زمان ۳۴ ساعت کاهش یافته است که بیان گر کاهش سرعت اتحلال کالکوپیریت است. علت آن تشکیل لایه مقاوم در سطح ذرات و کند شدن فرایند انتقال الکترون می‌باشد.

۳-۸- آزمایش‌های لیچینگ

آزمایش‌های لیچینگ نمونه کانی کالکوپیریت در شرایط مختلف (بدون حضور اکسید کننده، در حضور پراکسید دی سولفات و در حضور همزمان پراکسید دی سولفات و یون فریک) انجام شد. در ساعت‌های مختلف از پسماند جامد نمونه‌گیری شده و سپس الکترود خمیری کربن از آن تهیه و رفتار الکتروشیمیایی آن مورد بررسی قرار گرفت.

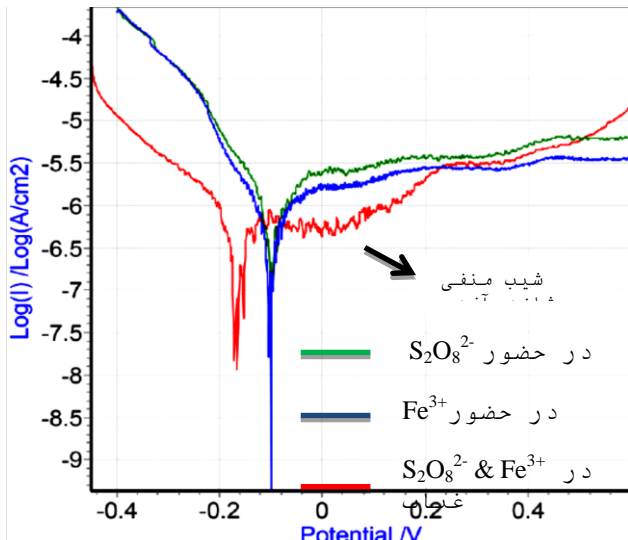
نتایج نشان داد که بدون حضور اکسید کننده میزان استخراج مس پس از ۱۰ ساعت بسیار ناچیز می‌باشد (کمتر از یک درصد). در حضور 0.5 mol/L پراکسید دی سولفات پس از ۱۰ ساعت از لیچینگ میزان بازیابی مس حدود $13/6$ درصد بود. اما در حضور همزمان 0.5 mol/L پراکسید دی سولفات و 0.2 mol/L یون فریک پس از ۱۰ ساعت ۲۲ درصد از مس بازیابی شد. دلیل آن حضور یون فریک به عنوان عامل اتحلال کالکوپیریت است. این نتیجه با نتایج داکوبا و همکاران [۱۲] مطابقت دارد.

شکل ۱۰ تصویر SEM ذرات کالکوپیریت قبل از لیچینگ و بعد از لیچینگ در محلول اسید سولفوریک، در حضور و غیاب پراکسید دی سولفات، را نشان می‌دهد.



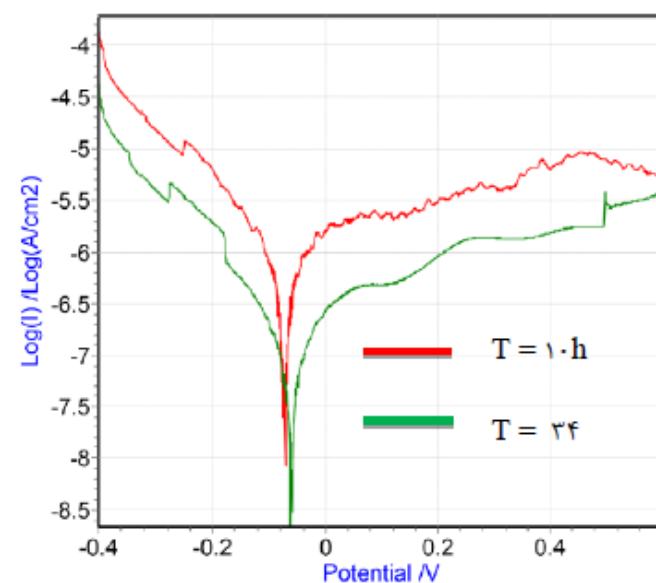
شكل ۱۰: تصویر SEM سطح ذرات کالکوپیریت؛ (الف) کانی کالکوپیریت ب) پسماند لیچینگ در محیط اسید سولفوریک ج) پسماند لیچینگ در محیط اسید سولفوریک و در حضور پراکسیددی سولفات د) پسماند لیچینگ در حضور هم‌زمان یون فریک و پراکسیددی سولفات

ساعت انتقال الکترون در سطح کالکوپیریت امکان‌پذیر است. در شکل ۱۳ نمودار تافل مربوط به پسماند لیچینگ در زمان ۷۲ ساعت در حضور عوامل اکسید کننده مختلف با یکدیگر مقایسه شده است. همان‌گونه که در شکل دیده می‌شود در نمودار مربوط به الکترود تهیه شده از پسماند لیچینگ بدون حضور اکسید کننده شیب منفی در محدوده پتانسیل -0.010 mV دیده می‌شود که بیان‌گر تشکیل لایه مقاوم در سطح ذرات کالکوپیریت است. هم‌چنین میزان جریان عبوری و در نتیجه میزان اتحاد در آزمایش‌های لیچینگ در حضور عوامل اکسید کننده حتی پس از ۷۲ ساعت از لیچینگ همچنان بیشتر از آزمایش لیچینگ کالکوپیریت بدون عوامل اکسید کننده یون فریک و پراکسیدی سولفات است.

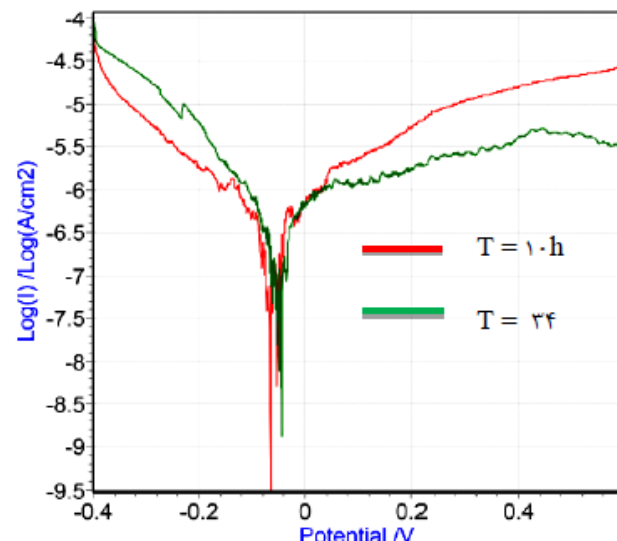


شکل ۱۳: نمودار تافل الکترود لیچینگ کالکوپیریت در حضور و غیاب عوامل اکسید کننده؛ زمان ۷۲ ساعت از لیچینگ، محدوده پتانسیل $-0.4\text{--}0.45\text{ V}$ ، محیط اسید سولفوریک $\text{pH}=1$ و دمای محیط

۳- نتایج آزمایش‌های امپدانس در حضور پراکسیدی سولفات به منظور بررسی نحوه تاثیر پراکسیدی سولفات بر اتحاد کالکوپیریت، آزمایش‌های امپدانس در حضور و غیاب پراکسیدی سولفات بر روی الکترود کالکوپیریت انجام شد. شکل (۱۴) مقایسه نمودار امپدانس الکترود کالکوپیریت در حضور و غیاب پراکسیدی سولفات در 300 mV را نشان می‌دهد. در غیاب پراکسید دی سولفات، نمودار امپدانس خطی با شیب $+1$ می‌باشد که بیان‌گر بالا بودن مقاومت در برابر انتقال بار است.



شکل ۱۱: نمودار تافل الکترود پسماند لیچینگ کالکوپیریت در غیاب عوامل اکسید کننده؛ زمان ۱۰ و ۳۴ ساعت از لیچینگ، محدوده پتانسیل $-0.4\text{--}0.45\text{ V}$ ، محیط اسید سولفوریک $\text{pH}=1$ و دمای محیط



شکل ۱۲: نمودار تافل الکترود پسماند لیچینگ کالکوپیریت در حضور همزمان پراکسیدی سولفات و یون فریک؛ زمان ۱۰ و ۳۴ ساعت از لیچینگ، محدوده پتانسیل $-0.4\text{--}0.45\text{ V}$ ، محیط اسید سولفوریک $\text{pH}=1$ و دمای محیط

شکل ۱۲ نمودار تافل مربوط به پسماند لیچینگ در زمان‌های ۱۰ و ۳۴ ساعت در حضور یون‌های فریک و پراکسیدی سولفات را نشان می‌دهد. میزان جریان در هر دو الکترود تقریباً با یکدیگر برابر است ($0.5\text{ }\mu\text{A}$) که نشان می‌دهد حتی پس از گذشت

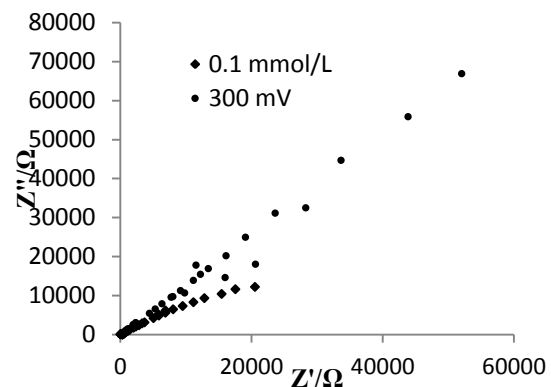
۴- نتیجه گیری

در مطالعه قبلی که توسط نویسندها انجام شده است، تاثیر مثبت یون پراکسید دی سولفات بر انحلال کالکوپیریت نشان داده شد. در این مقاله، با استفاده از روش‌های الکتروشیمیایی، مطالعات تکمیلی جهت تعیین نحوه عملکرد پراکسید دی سولفات در فرایند انحلال کالکوپیریت انجام شد. بر اساس نتایج آزمایش ولتاوری سیکلی، در پتانسیل روبش آندی اکسیداسیون کالکوپیریت در محدوده پتانسیل V vs. SCE $0.25 - 0.32$ صورت می‌گیرد و در جهت کاتدی، دو پیک کاتدی مربوط به احیا محصولات حاصل از اکسیداسیون در مرحله قبل (کالکوپیریت ناقص) و احیا یون‌های مس به مس فلزی دیده شد. کاهش pH محیط به 1 ، سبب افزایش میزان احیا شدن کالکوپیریت به دلیل افزایش حضور یون H^+ در محدوده پتانسیل $0.32 - 0.36$ می‌شود. آزمایش ولتاوری سیکلی الکترود کالکوپیریت در جهت کاتدی نشان داد که پیک مربوط به احیا شدن کالکوپیریت به کالکوسیت و کوولیت در محدوده پتانسیل $0.33 - 0.36$ ظاهر می‌شود و اکسیداسیون این محصولات در مسیر برگشت سبب ظاهر شدن پیک آندی در محدوده پتانسیل $0.36 - 0.40$ می‌شود. نمودار تافل الکترود کالکوپیریت یک شیب منفی در محدوده آندی ($0.2 - 0.5$ V vs. SCE) نشان می‌دهد که بیانگر تشکیل یک لایه مقاوم در سطح کالکوپیریت می‌باشد. در حضور پراکسید دی سولفات، شیب منفی شاخه آندی حذف شده است. به عبارت دیگر حضور پراکسید دی سولفات از تشکیل لایه مقاوم جلوگیری می‌کند. آزمایش‌های امپدانس الکتروشیمیایی نشان داد که یون پراکسید دی سولفات سبب کاهش مقاومت در برابر انتقال بار شده و باعث افزایش انحلال کالکوپیریت می‌شود.

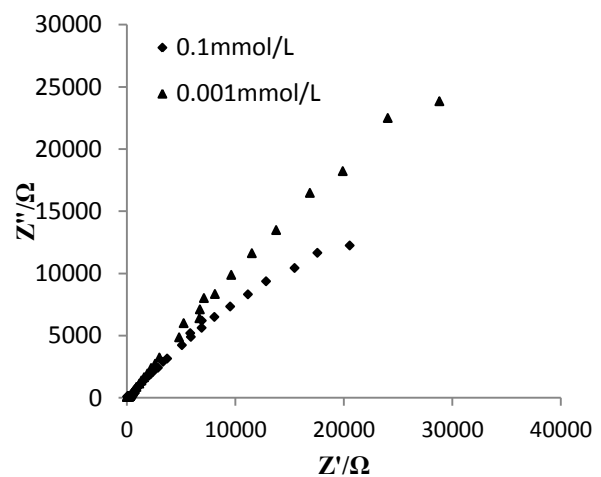
تقدیر و تشکر

بدین وسیله، از همکاری واحد تحقیق و توسعه مجتمع مس سرچشمۀ در انجام این تحقیق سپاسگزاری می‌شود.

افزودن پراکسید دی سولفات به محیط سبب کاهش شیب خط مقاومت در برابر انتقال بار شده است. افزایش بیشتر مقدار پراکسید دی سولفات از 0.001 mmol/L به 0.1 mmol/L سبب کاهش بیشتر شیب خط شده است که به معنی کاهش بیشتر مقاومت در برابر انتقال بار شده است (شکل ۱۵) که به معنی انتقال آسانتر الکترون در لایه سطحی کالکوپیریت و افزایش سرعت انحلال آن می‌باشد.



شکل (۱۴): تاثیر حضور پراکسید دی سولفات بر روی مقاومت انتقال بار



شکل (۱۵): تاثیر غلظت پراکسید دی سولفات بر روی مقاومت انتقال بار

مراجع

- 1- Dutrizac, J.E.; 1978; “The kinetics of dissolution of chalcopyrite in ferric ion media”, Metall”. Trans. B (9B):431-439.
- 2- E.M. Cordoba, J.A. Munoz, M.L. Blazquez, F. Gonzalez, A. Ballester; 2008; “Leaching of chalcopyrite with ferric ion. Part I: General aspects”, Hydrometallurgy 93 (3-4): 81-87
- 3- Klauber, C.; 2008; “A critical review of the surface chemistry of acidic ferric sulphate dissolution of chalcopyrite with regards to hindered dissolution”, Int. J. Min. Process (86):1-17.
- 4- Hiroyoshi. N, Miki. H., Hirajima. T., Tsunekawa. M. ; 2000; “A model for ferrous-promoted chalcopyrite leaching”, Hydrometallurgy (57):31-38.
- 5- Mehta, A.P., Murr, L.E.; 1983; “Fundamental studies of the contribution of galvanic interaction to acid-bacterial leaching of mixed metal sulfides”. Hydrometallurgy (9): 235–256.
- 6- S.M. Javad Koleini, Valeh Aghazadeh, ke Sandstrm; 2011; “Acidic sulphate leaching of chalcopyrite concentrates in presence of pyrite”. Minerals Engineering (24): 381–386.
- 7- Dixon, D.G., Mayne, D.D., Baxter, K.G.; 2008; *GalvanoxTM— a novel galvanically assisted atmospheric leaching technology for copper concentrate*”. Can. Metall.Quart. (47): 327–336.
- 8- Córdoba, E. M., Munoz., J.A., Blazquez. M.L., Gonzalez. F., Ballester. A.; 2009; “Comparative kinetic study of the silver-catalyzed chalcopyrite leaching at 35 and 68 °C”. International Journal of Mineral Processing 92(3): 137-143.
- 9- Misra, M., and M. C. Fuerstenau; 2005; “Chalcopyrite leaching at moderate temperature and ambient pressure in the presence of nanosize silica”. Minerals engineering 18(3): 293-297.
- 10- O. J., Solis-Marcial, G. T. Lapidus; 2012; “Improvement of chalcopyrite dissolution in acid media using polar organic solvents”, Hydrometallurgy (131-132): 120-126.
- 11- Mahajan, V., Misra., M., Zhong., K., Fuerstenau., M.C.; 2007; “Enhanced leaching of copper from chalcopyrite in hydrogen peroxide-glycol system.” Minerals engineering 20(7): 670-674.
- 12- Dakubo, Francis, James C. Baygents, and James Farrell.; 2012; “Peroxodisulfate assisted leaching of chalcopyrite.” Hydrometallurgy (121): 68-73.
- 13- Elsa M. Arce, Ignacio GonzálezA, 2002. “comparative study of electrochemical behavior of chalcopyrite ,chalcocite and bornite in sulfuric acid solution”. Int. J. Miner. Process. 67 , 17–28
- 14- Holliday, R. I., Richmond, W.R, 1990, “An electrochemical study of the oxidation of chalcopyrite in acidic solution,” Electroanal. Chem. Interfacial Electrochem, 288 (1–2), 83–98.
- 15- Eghbalnia M., and Dixon, D. G., , 2011, “Electrochemical study of leached chalcopyrite using solid paraffin-based carbon paste electrodes,” Hydrometallurgy, 110, 1-12.
- 16- Ghahremaninezhad, A., Dixon, D., and Asselin, E , 2012, “Kinetics of the ferric–ferrous couple on anodically passivated chalcopyrite electrodes,” Hydrometallurgy, 125, 42-49.
- 17- Ghahremaninezhad, A., Asselin, E .and Dixon, D., 2010, “Electrochemical evaluation of the surface of chalcopyrite during dissolution in sulfuric acid solution,” Electrochimica Acta, 55, 5041-5056.
- ۱۸- افشار، فاطمه، نادری، حجت، حسینی، الهه، ترانی، معصومه، ۱۳۹۵، ”لیچینگ کنسانتره کالکوپیریتی مس سرچشمه با استفاده از افزودنی پراکسید دی سولفات سدیم”， نشریه

علمی-پژوهشی مهندسی معدن، دوره یازدهم، شماره ۳۰، صفحه ۳۹-۳۱.